

Figura 343. Componente real de la J del rotor.  $f_e=1000\text{Hz}$  -  $f_r=40\text{Hz}$  -  $s=0.20$ .  $p=20$ .

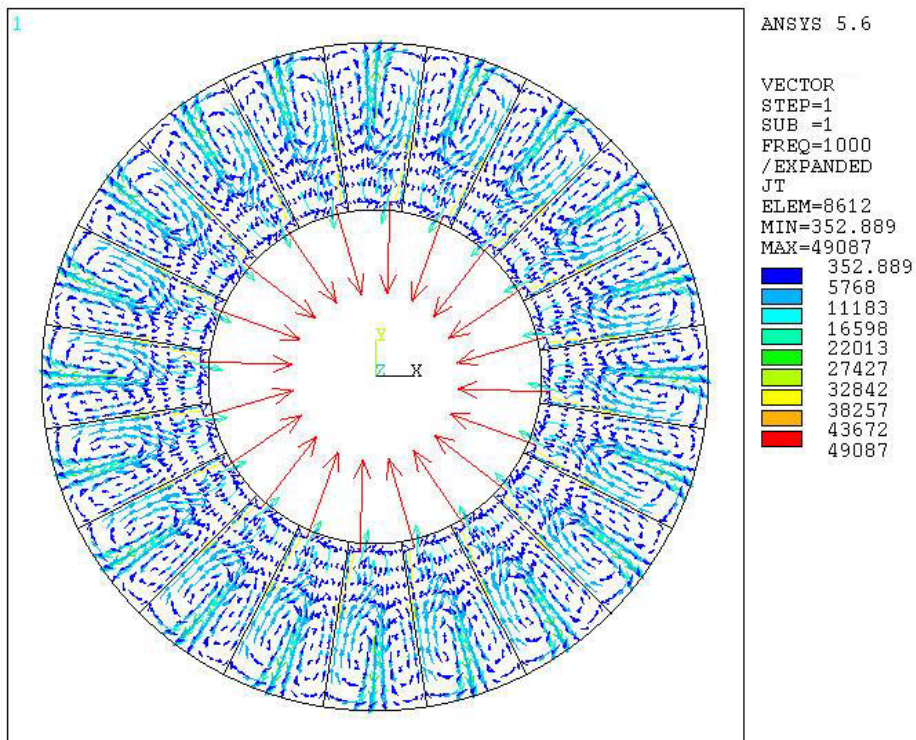


Figura 344. Componente imaginaria de la J del rotor.  $f_e=1000\text{Hz}$  -  $f_r=40\text{Hz}$  -  $s=0.20$ .  $p=20$ .

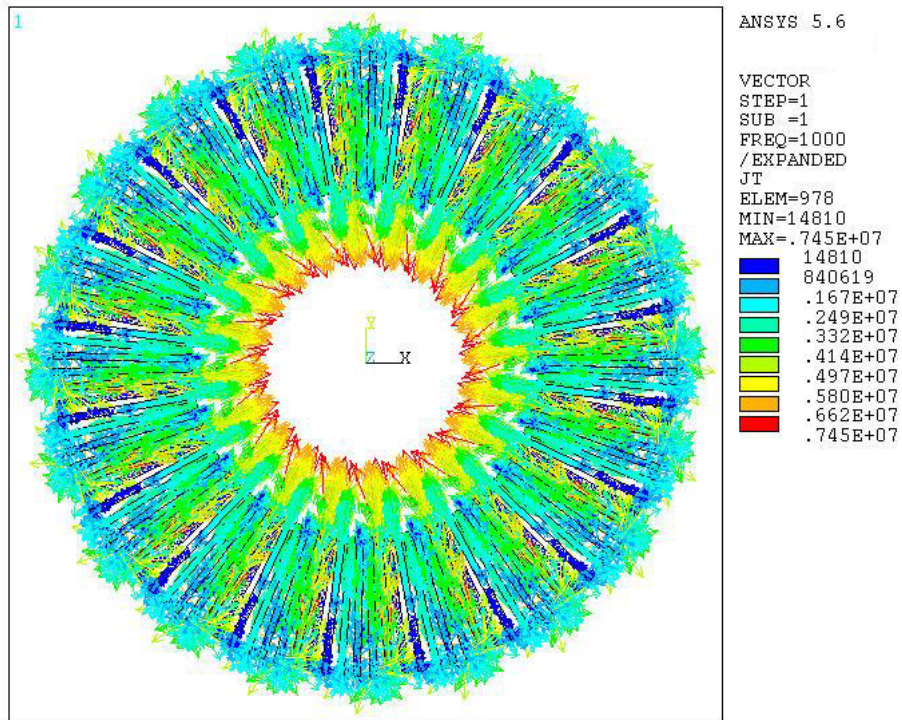


Figura 345. Componente real de las corrientes estáticas.  
 $f_e=1000\text{Hz} - f_r=40\text{Hz} - s=0.20$ .

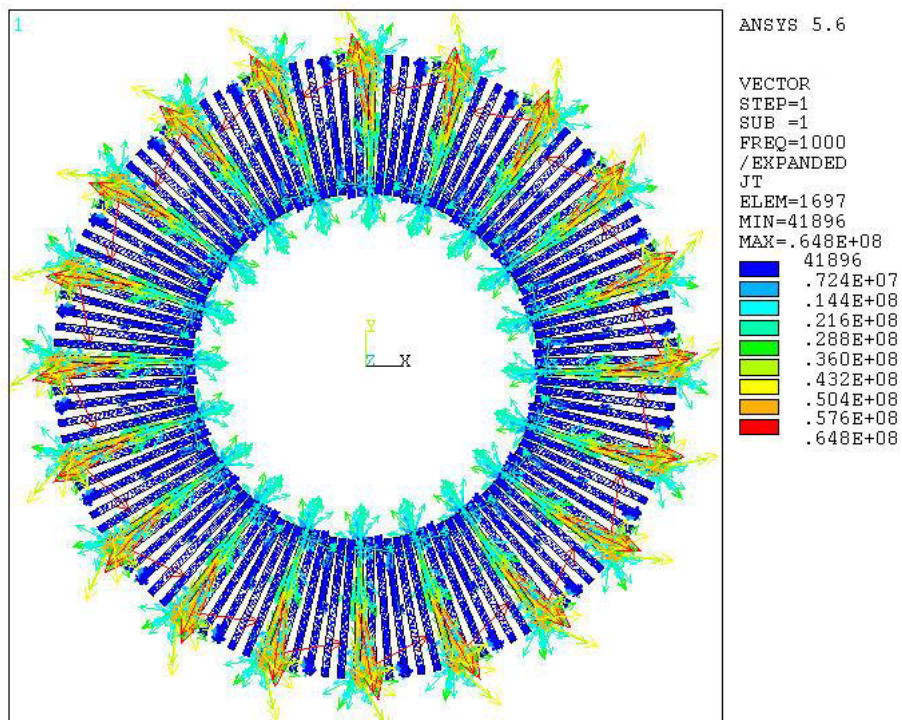


Figura 346. Componente imaginaria de las corrientes estáticas.  
 $f_e=1000\text{Hz} - f_r=40\text{Hz} - s=0.20$ .

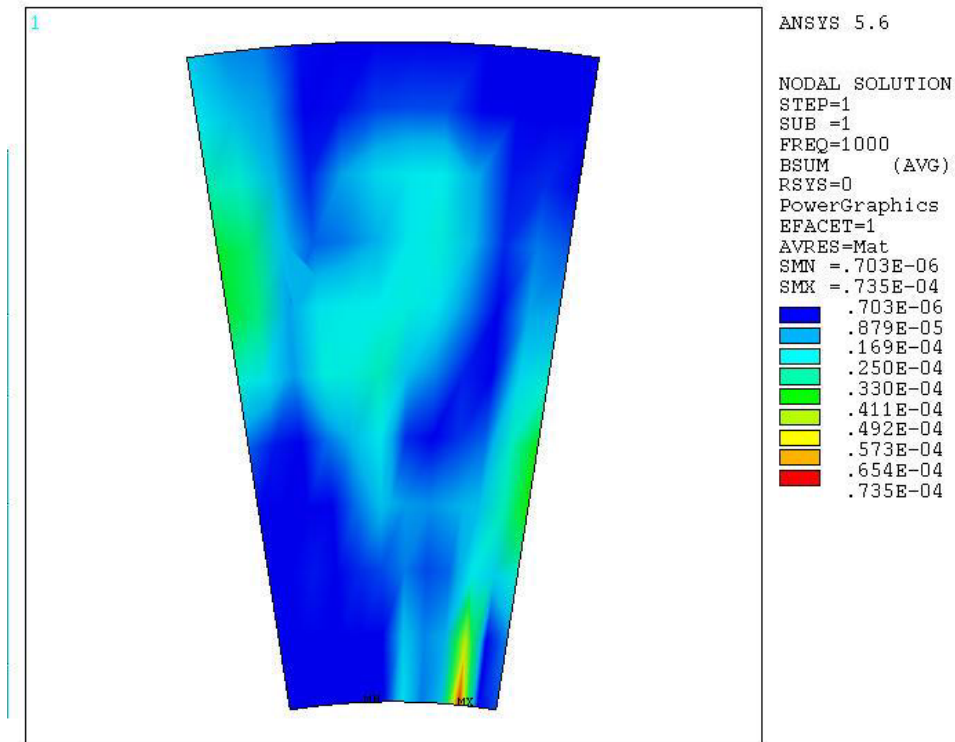


Figura 347. Componente real de la densidad de campo B.  
 $f_e=1000\text{Hz}$  -  $f_r=40\text{Hz}$  -  $s=0.20$ . Distribución por par de polos  $p=20$ .

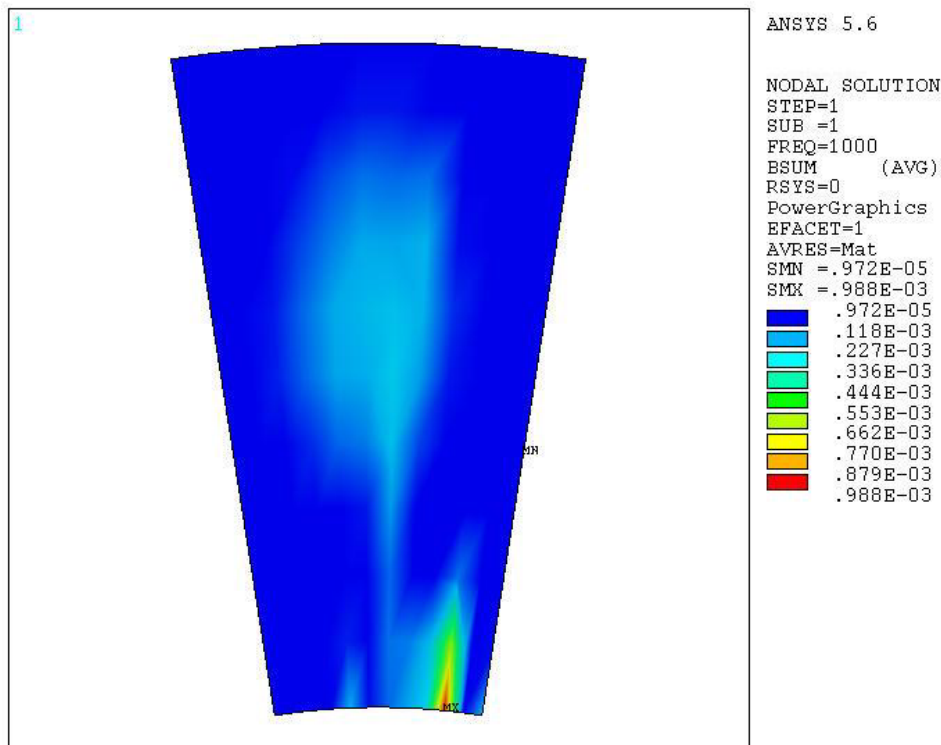


Figura 348. Componente imaginaria de la densidad de campo B.  
 $f_e=1000\text{Hz}$  -  $f_r=40\text{Hz}$  -  $s=0.20$ . Distribución por par de polos  $p=20$ .

A.1.6.3.  $s=0.50$  -  $f_r=25\text{Hz}$ .

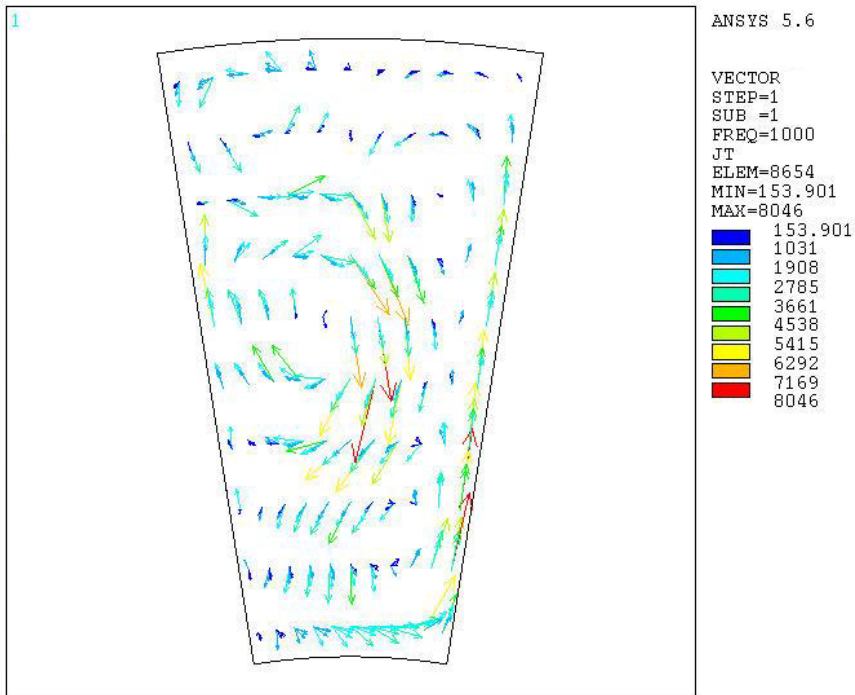


Figura 349. Componente real de la J del rotor.  $f_e=1000\text{Hz}$  -  $f_r=25\text{Hz}$  -  $s=0.50$ . Distribución por par de polos  $p=20$ .

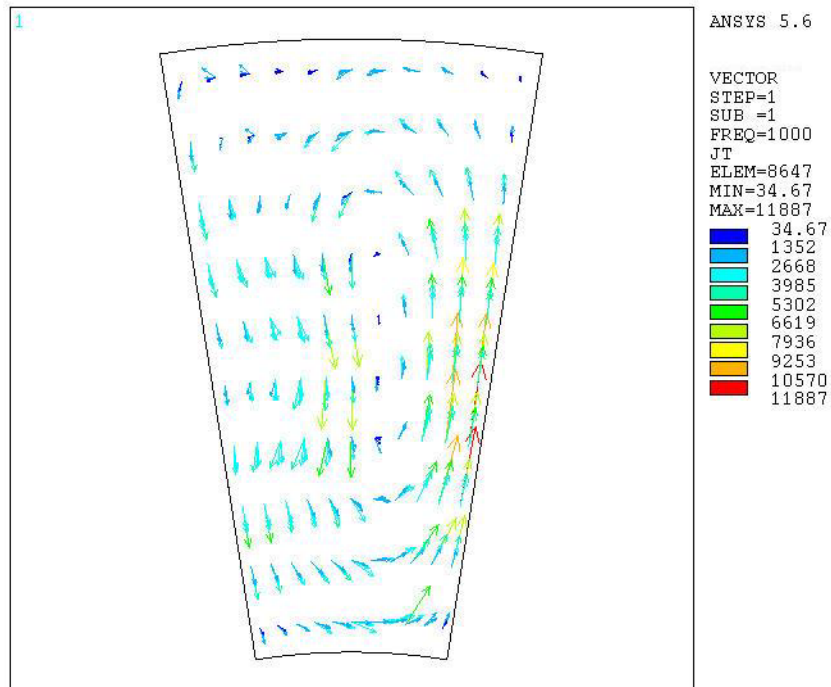


Figura 350. Componente real de la J del rotor.  $f_e=1000\text{Hz}$  -  $f_r=25\text{Hz}$  -  $s=0.50$ . Distribución por par de polos  $p=20$ .

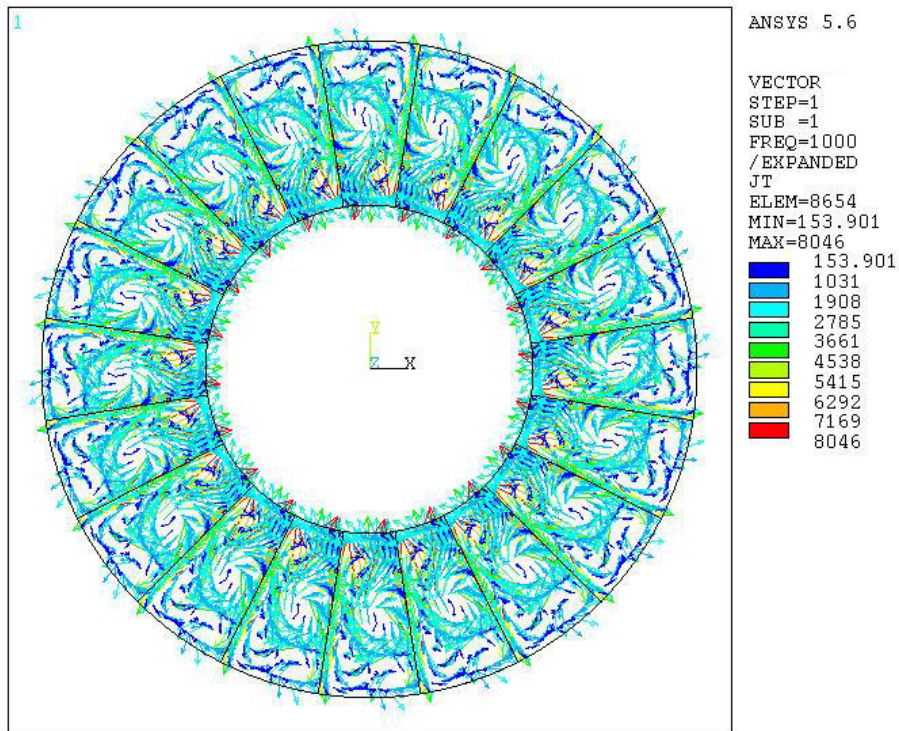


Figura 351. Componente real de la J del rotor.  $f_e=1000\text{Hz}$  -  $f_r=25\text{Hz}$  -  $s=0.50$ .  $p=20$ .

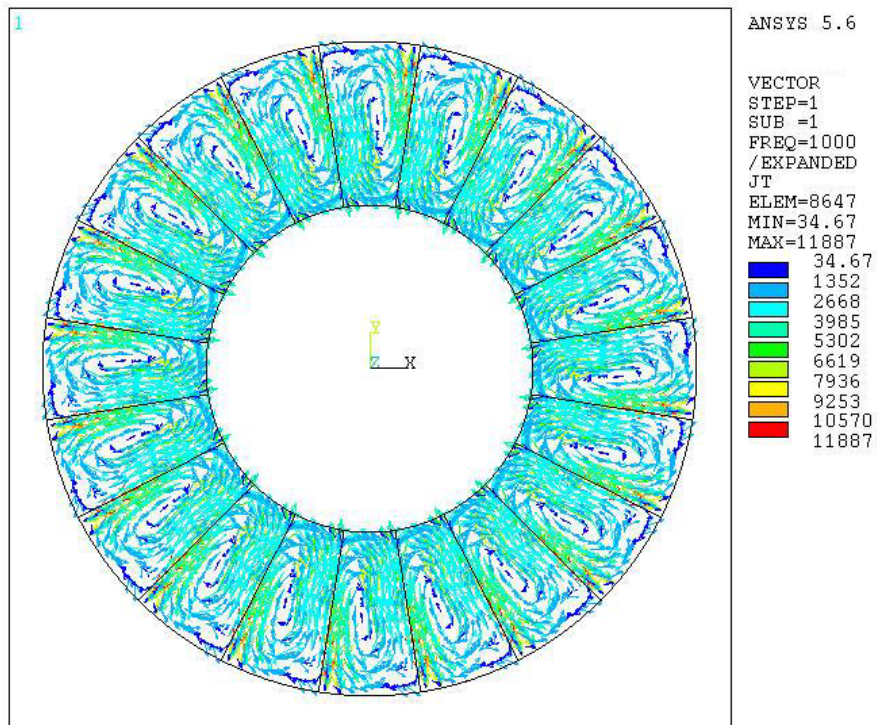


Figura 352. Componente imaginaria de la J del rotor.  $f_e=1000\text{Hz}$  -  $f_r=25\text{Hz}$  -  $s=0.50$ .  $p=20$ .

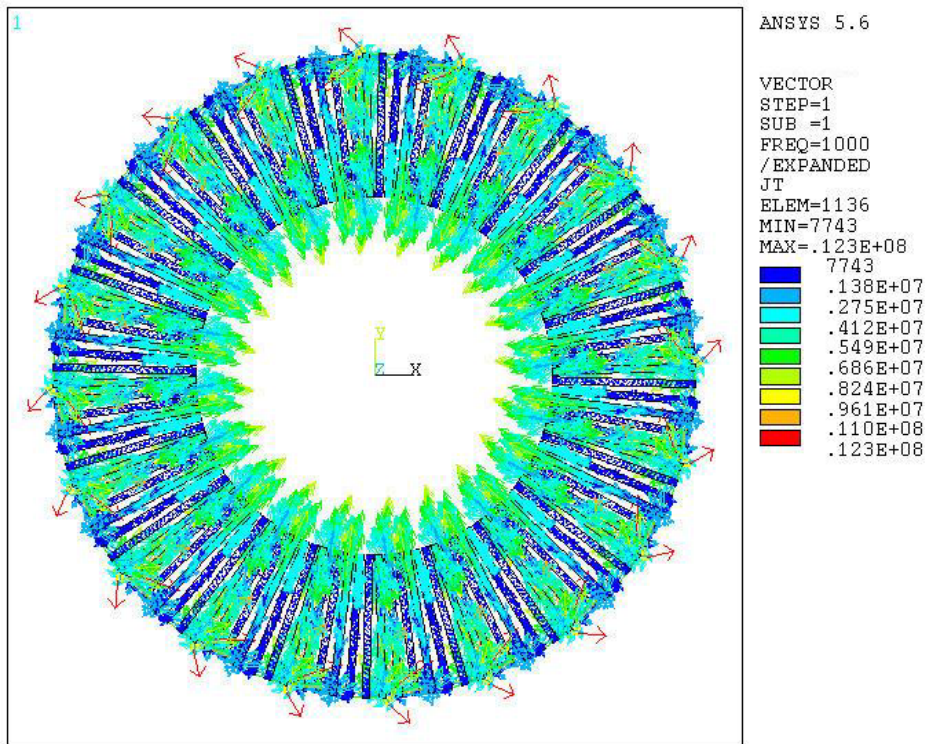


Figura 353. Componente real de las corrientes estáticas.  
 $f_e=1000\text{Hz}$  -  $f_r=25\text{Hz}$  -  $s=0.50$ .

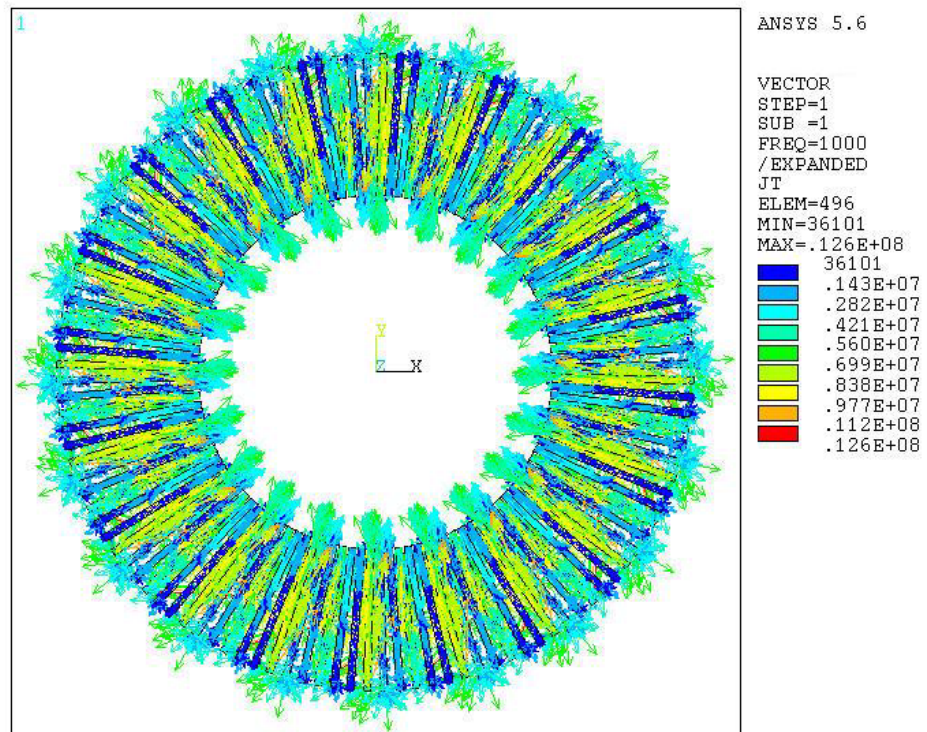


Figura 354. Componente imaginaria de las corrientes estáticas.  
 $f_e=1000\text{Hz}$  -  $f_r=25\text{Hz}$  -  $s=0.50$ .

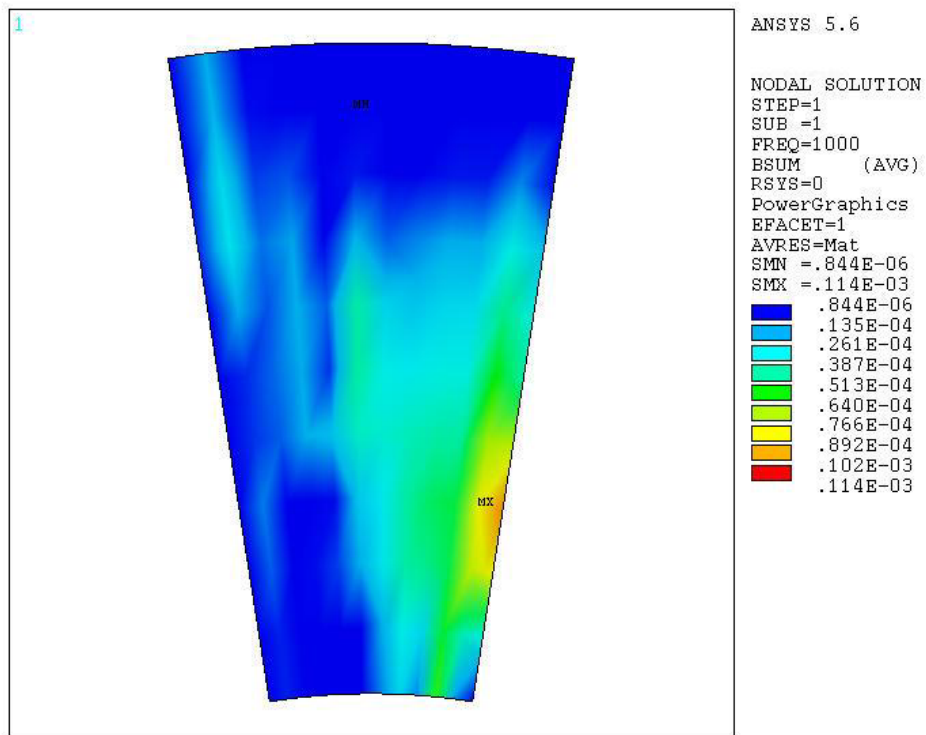


Figura 355. Componente real de la densidad de campo B.  
 $f_e=1000\text{Hz}$  -  $f_r=25\text{Hz}$  -  $s=0.50$ . Distribución por par de polos  $p=20$ .

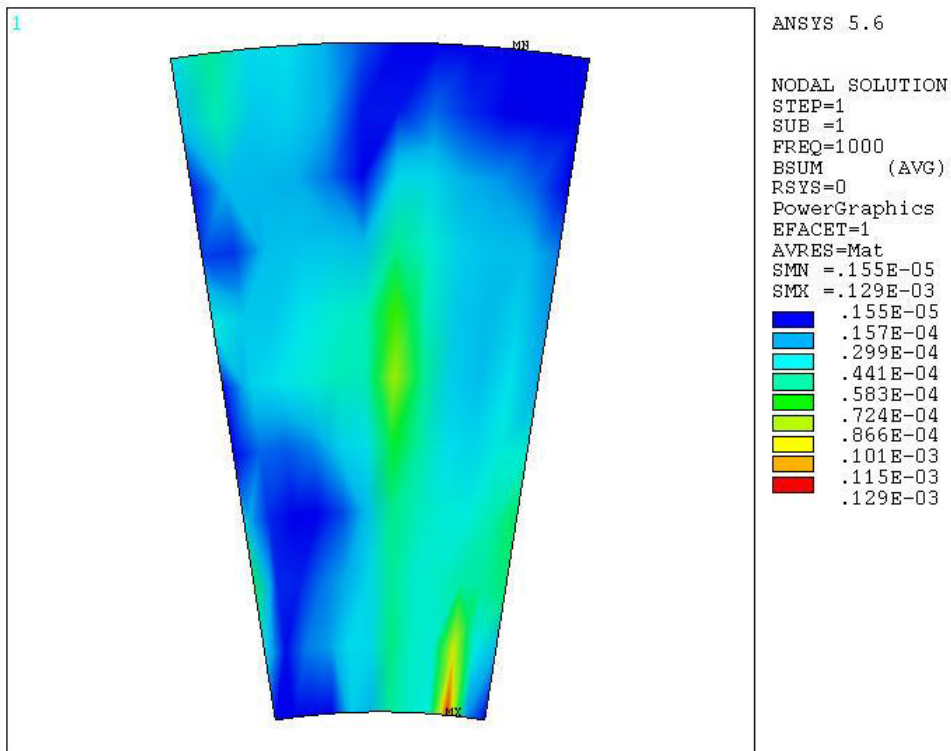


Figura 356. Componente imaginaria de la densidad de campo B.  
 $f_e=1000\text{Hz}$  -  $f_r=25\text{Hz}$  -  $s=0.50$ . Distribución por par de polos  $p=20$ .

A.1.6.4.  $s=0.999$  -  $f_r=0.05\text{Hz}$ .

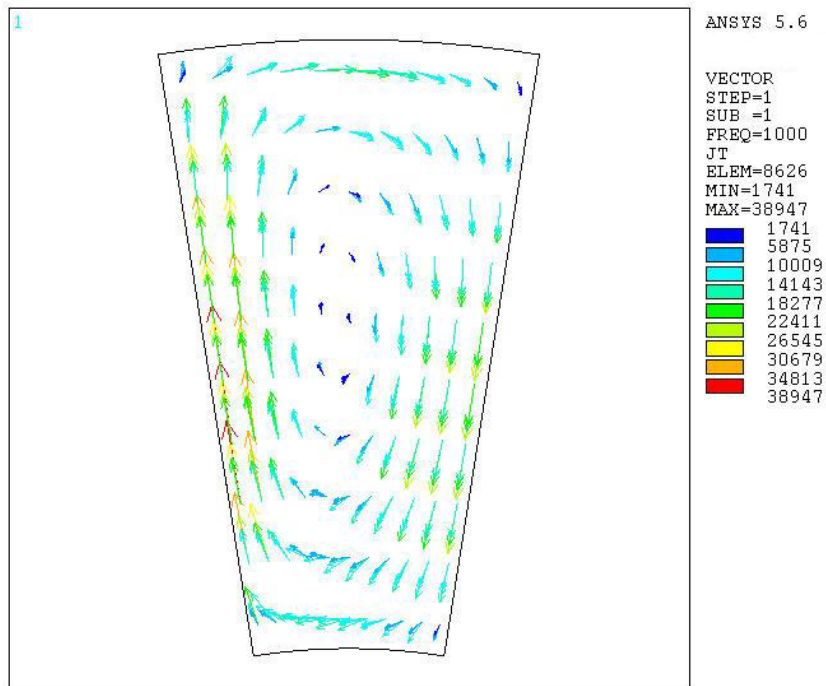


Figura 357. Componente real de la J del rotor.  $f_e=1000\text{Hz}$  -  $f_r=0.05\text{Hz}$  -  $s=0.999$ . Distribución por par de polos  $p=20$ .

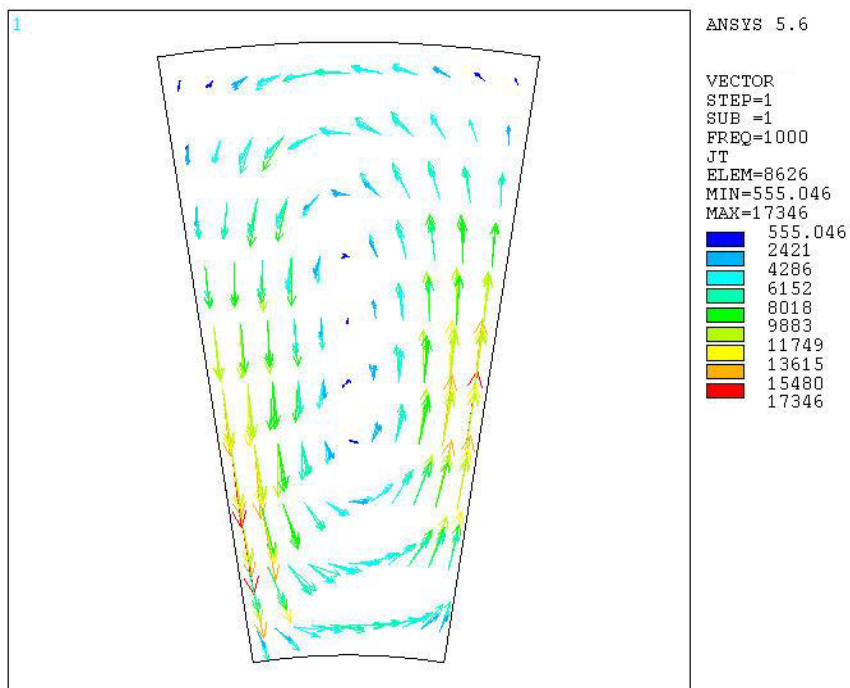


Figura 358. Componente imaginaria de la J del rotor.  $f_e=1000\text{Hz}$  -  $f_r=0.05\text{Hz}$  -  $s=0.999$ . Distribución por par de polos  $p=20$ .



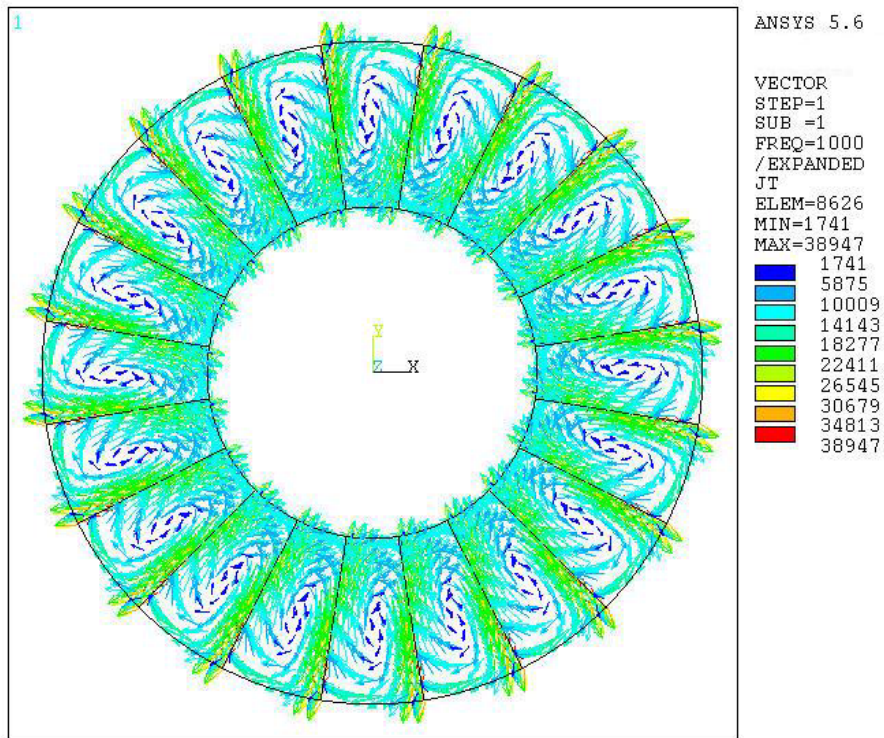


Figura 359. Componente real de la J del rotor.  $f_e=1000\text{Hz}$  -  $f_r=0.05\text{Hz}$  -  $s=0.999$ .  $p=20$ .

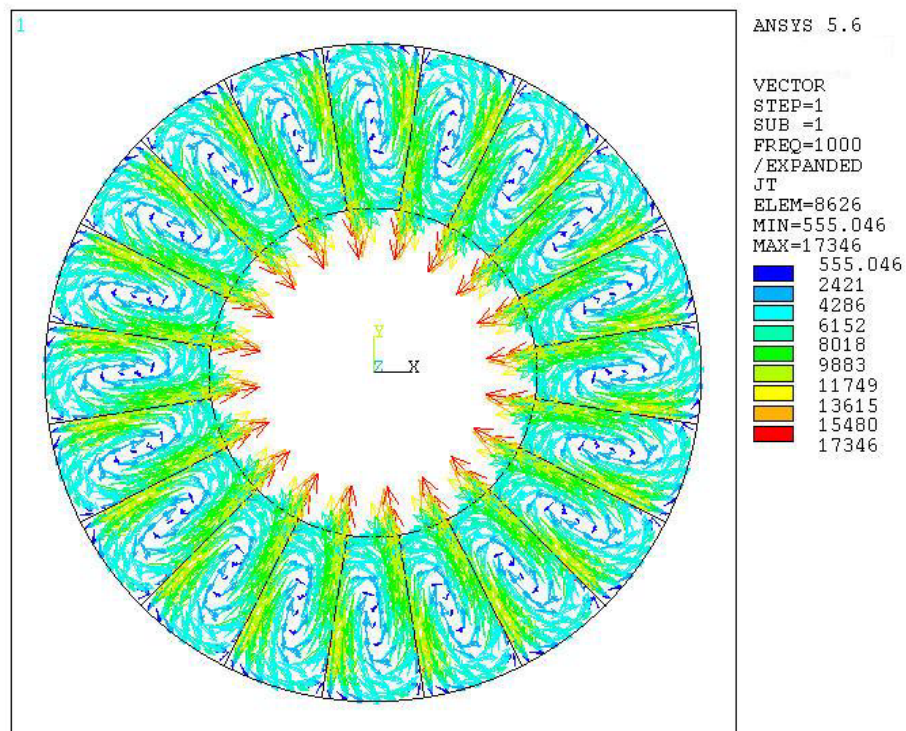


Figura 360. Componente imaginaria de la J del rotor.  $f_e=1000\text{Hz}$  -  $f_r=0.05\text{Hz}$  -  $s=0.999$ .  $p=20$ .

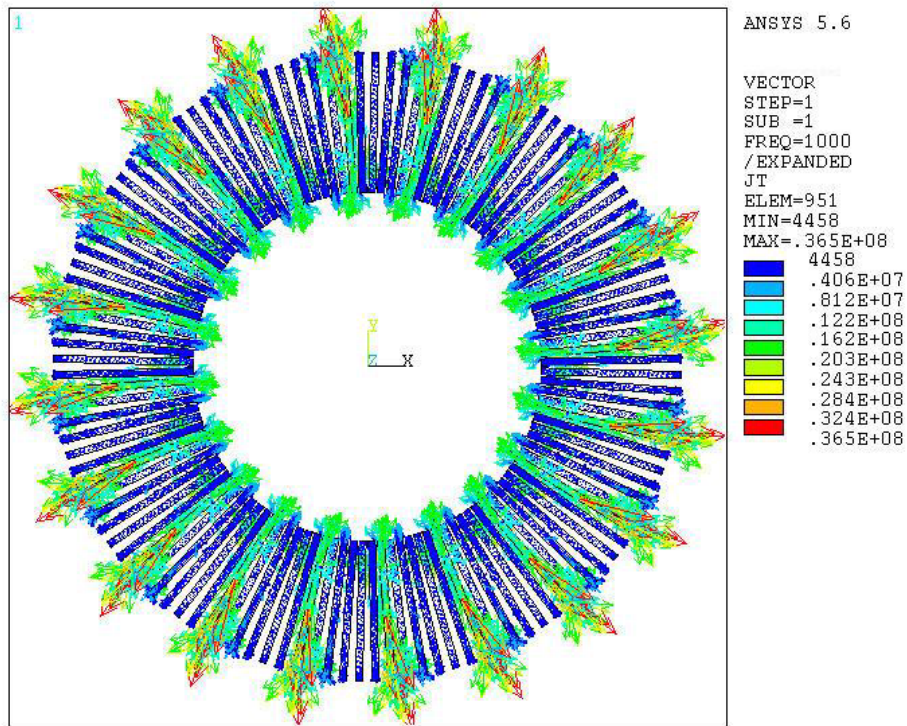


Figura 361. Componente real de las corrientes estáticas.  
 $f_e=1000\text{Hz}$  -  $f_r=0.05\text{Hz}$  -  $s=0.999$ .

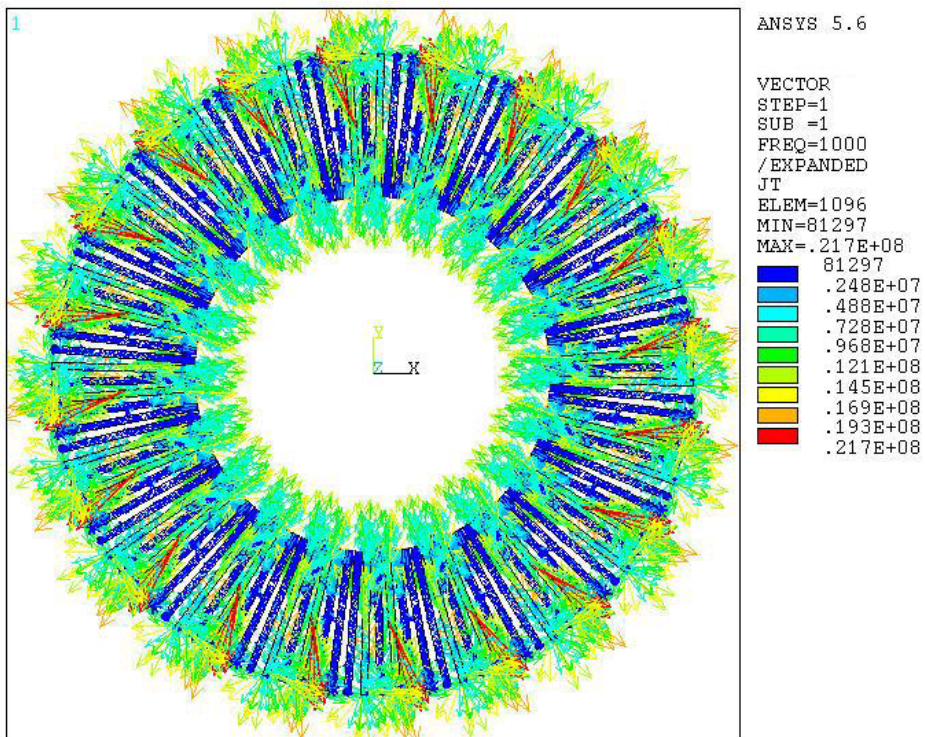


Figura 362. Componente imaginaria de las corrientes estáticas.  
 $f_e=1000\text{Hz}$  -  $f_r=0.05\text{Hz}$  -  $s=0.999$ .